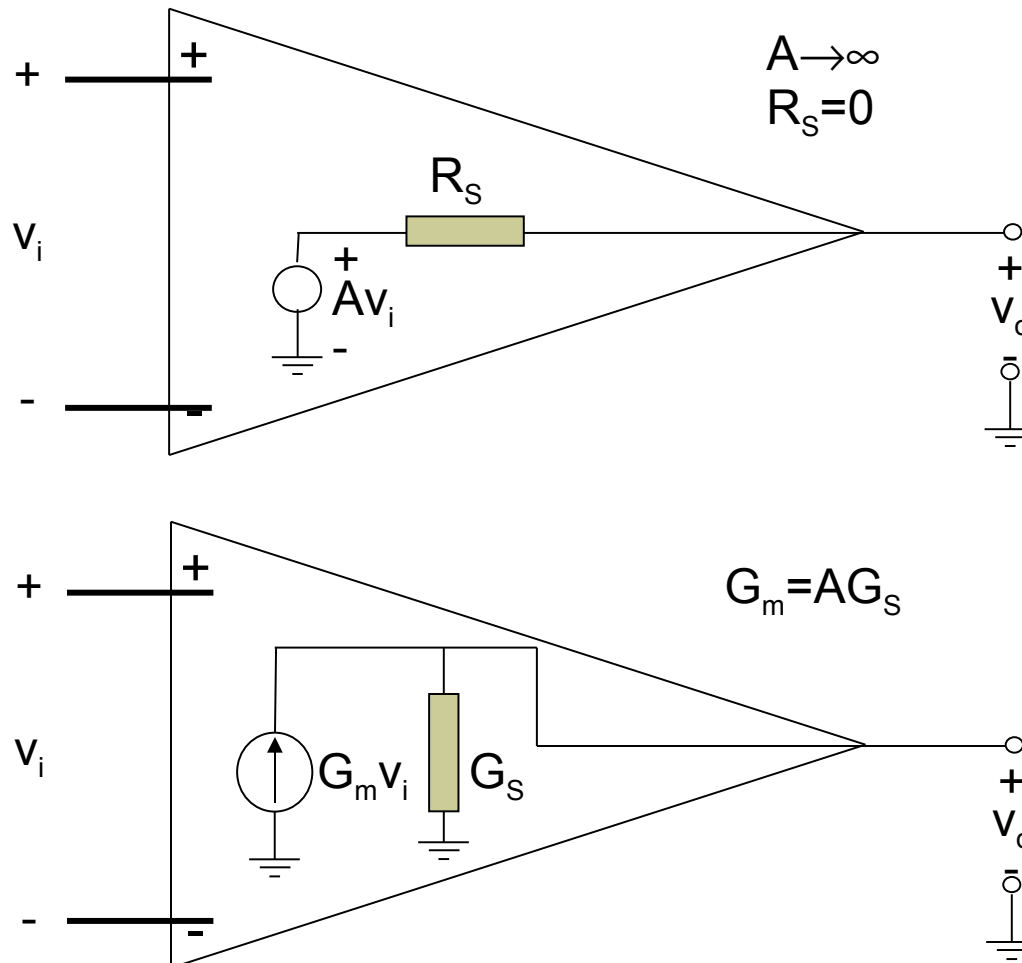


CAPÍTULO 5

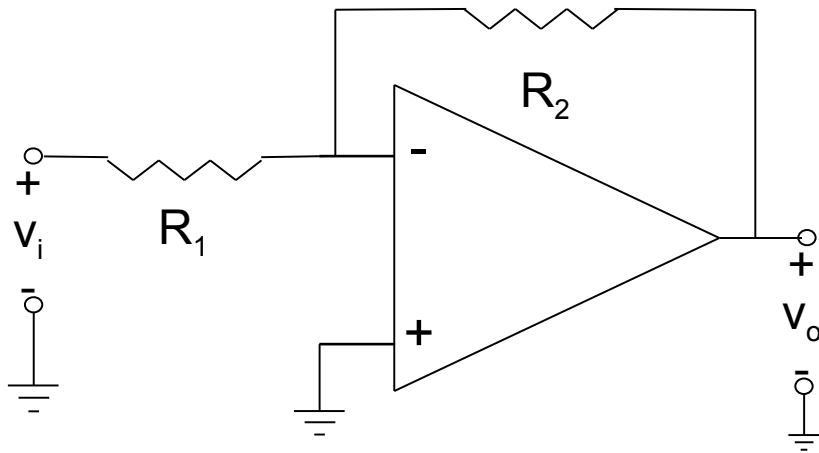
AMPLIFICADORES OPERACIONAIS CMOS

5.1 Introdução

amp op ideal

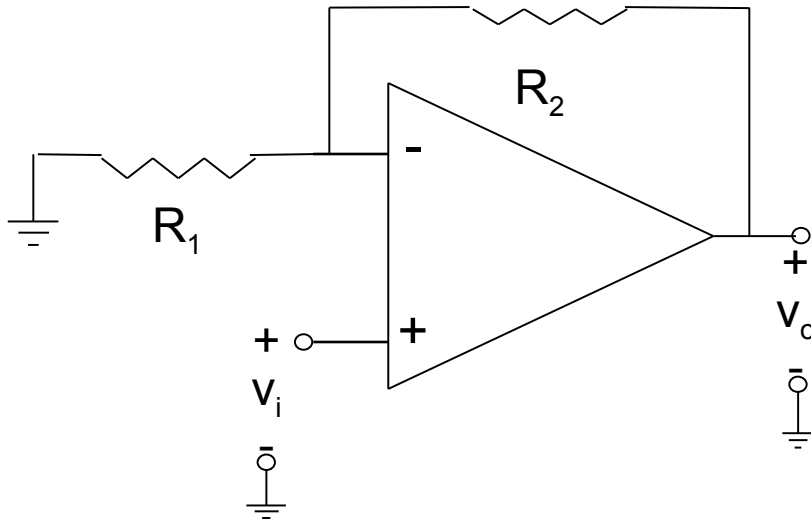


Aplicações



amplificador inversor

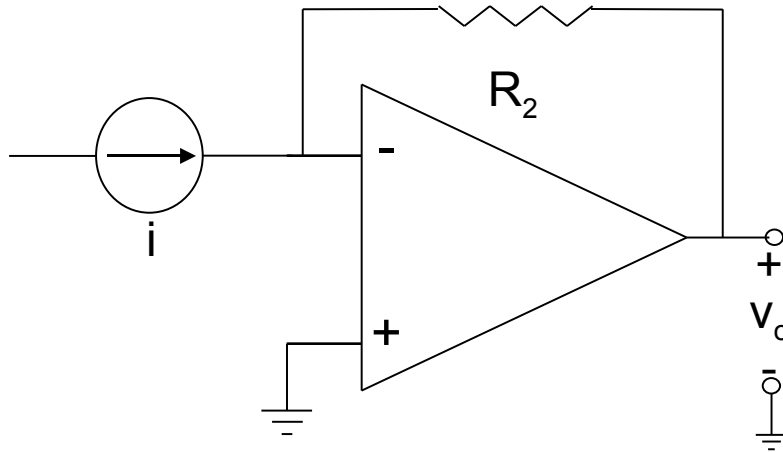
$$\frac{v_o}{v_i} = -\frac{R_2}{R_1} \frac{1}{1 + \frac{1}{A} \left(1 + \frac{R_2}{R_1} \right)} \cong -\frac{R_2}{R_1}$$



amplificador não inversor

$$\frac{v_o}{v_i} = \left(1 + \frac{R_2}{R_1} \right) \frac{1}{1 + \frac{1}{A} \left(1 + \frac{R_2}{R_1} \right)} \cong 1 + \frac{R_2}{R_1}$$

Aplicações - 2



Transimpedance amplifier

$$\frac{v_o}{i} = -R_2 \frac{A}{1+A} \cong -R_2 \left(1 - \frac{1}{A} \right) \cong -R_2$$

- Continuous-time filters
- SC filters
- D/A & A/D converters
- Sensor signal conditioning
- Voltage & current references
- Comparators
- Nonlinear analog functions,
-

Requisitos de projeto:

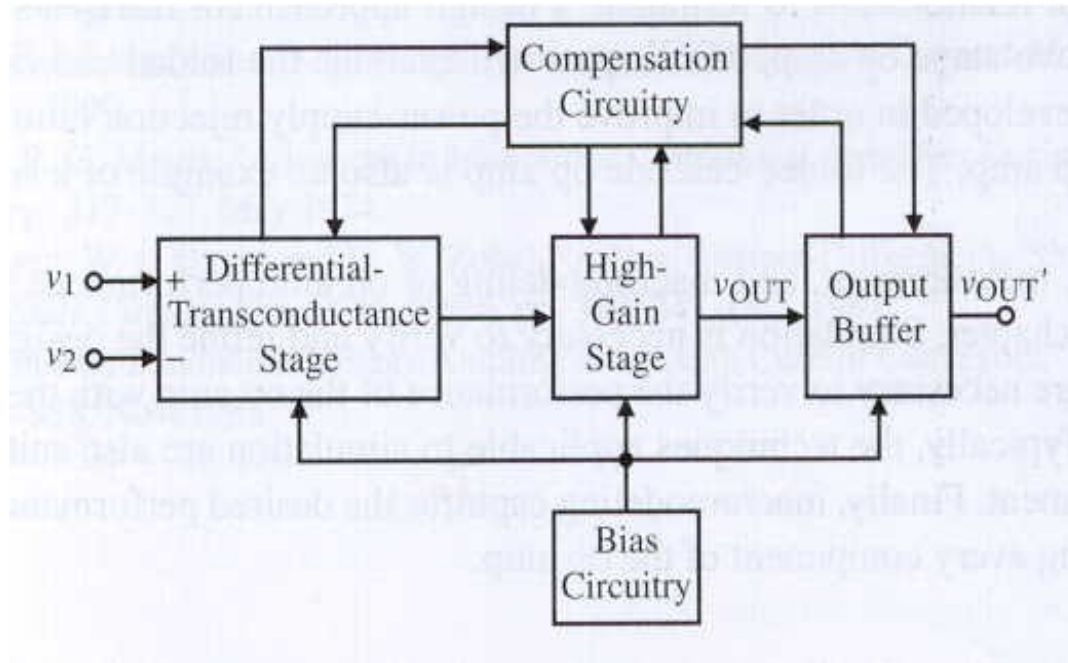
Tecnologia;

- **Tensão de Alimentação;**
- **Ganho, GBW, excursão de tensão na saída, ruído, tensão de offset, CMRR, PSRR, ICMR, SR ...**

Etapas de projeto:

- **Escolha da arquitetura;**
- **Correntes de polarização & dimensões dos transistores;**
- **Compensação;**
- **Simulação;**
- **Layout;**
- **Simulação pós-layout**

Diagrama em blocos de um amp. op. genérico



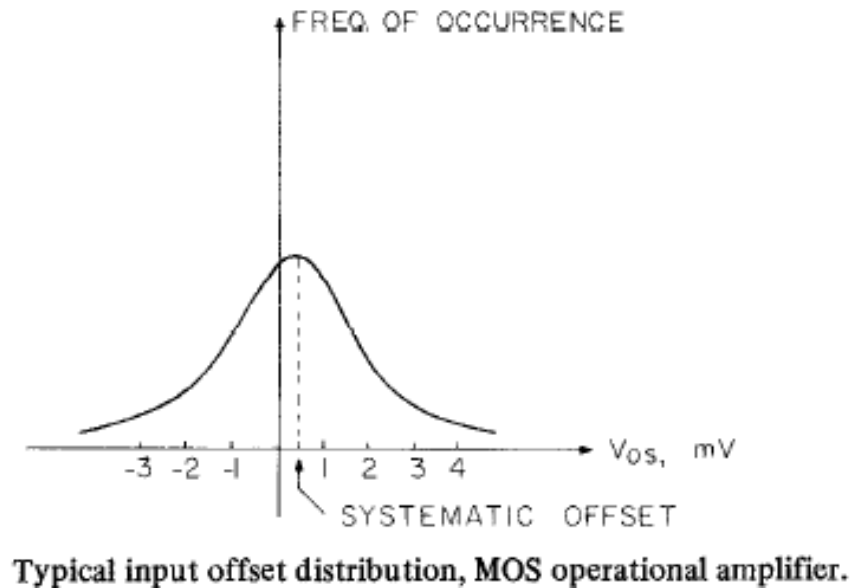
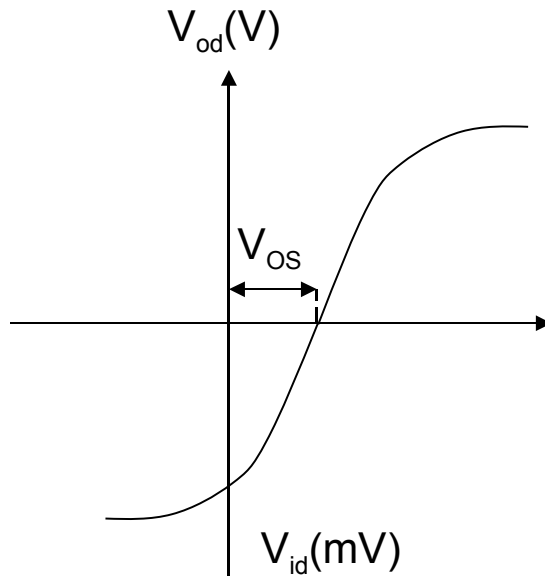
P. Allen and D. Holberg – CMOS Analog Circuit Design, 2nd. Ed., Oxford, New York, 2002.

5.2 Parametros de Desempenho

TABLE 6.1-2 Specifications for a Typical Unbuffered CMOS Op Amp

Boundary Conditions	Requirement
Process specification	See Tables 3.1-1, 3.1-2, and 3.2-1
Supply voltage	$\pm 2.5 \text{ V} \pm 10\%$
Supply current	100 μA
Temperature range	0–70 °C
Specifications	
Gain	$\geq 70 \text{ dB}$
Gain bandwidth	$\geq 5 \text{ MHz}$
Settling time	$\leq 1 \mu\text{s}$
Slew rate	$\geq 5 \text{ V}/\mu\text{s}$
ICMR	$\geq \pm 1.5 \text{ V}$
CMRR	$\geq 60 \text{ dB}$
PSRR	$\geq 60 \text{ dB}$
Output swing	$\geq \pm 1.5 \text{ V}$
Output resistance	N/A, capacitive load only
Offset	$\leq \pm 10 \text{ mV}$
Noise	$\leq 100 \text{ nV}/\sqrt{\text{Hz}}$ at 1 kHz
Layout area	$\leq 5000 \times (\text{minimum channel length})^2$

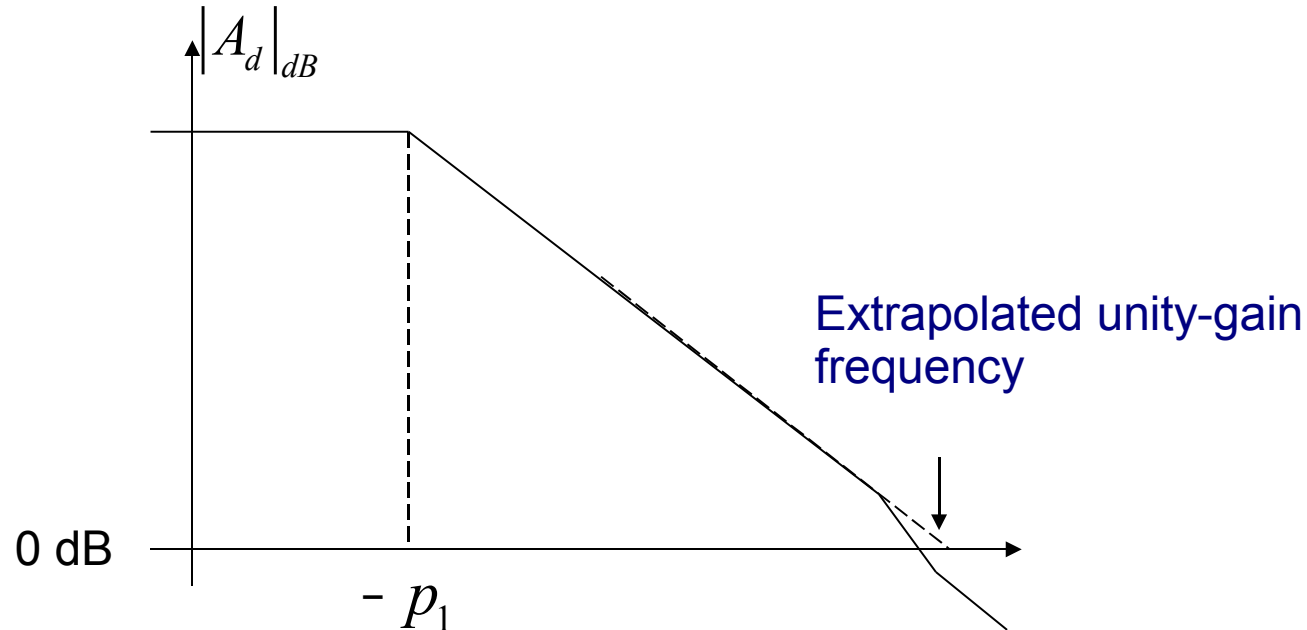
Tensão de Offset



Offset sistemático – é resultado do projeto do circuito e está presente mesmo quando todos os dispositivos supostamente idênticos são casados (geralmente pode-se obter baixos valores).

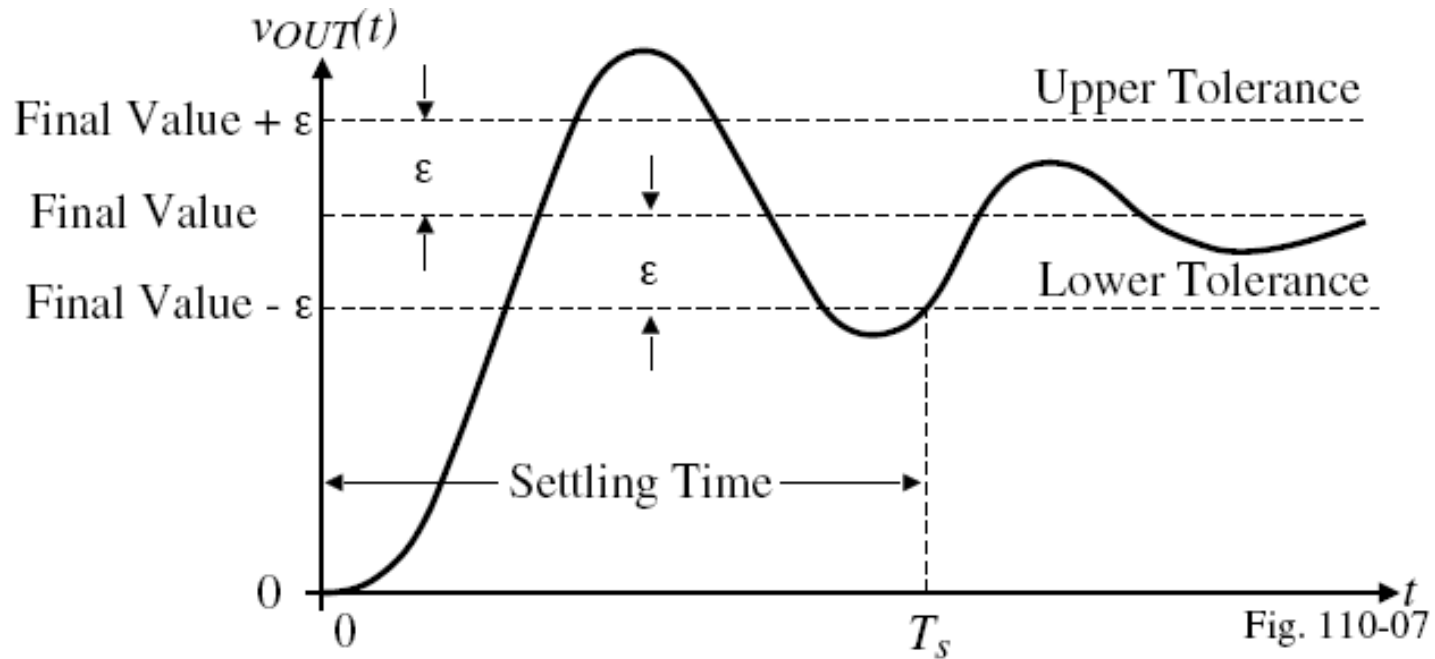
Offset randômico – é resultado dos descasamentos nos pares de dispositivos supostamente idênticos (depende da área e da polarização).

Ganho de Tensão Diferencial



P. R. Gray and R. G. Meyer, MOS Operational Amplifier Design – A Tutorial Overview, IEEE JSSC, vo. 17, n0. 6, pp. 969-982, Dec. 1982.

Tempo de Acomodação (*Settling time*)



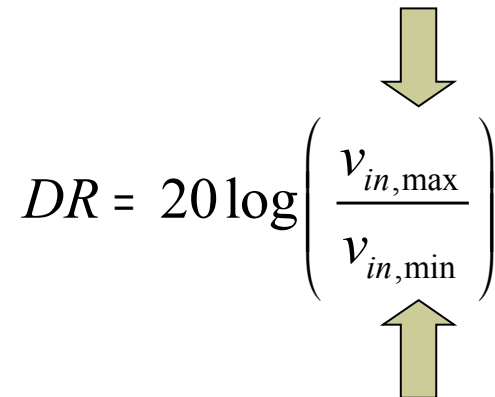
P. Allen and D. Holberg – CMOS Analog Circuit Design, 2nd. Ed., Oxford, New York, 2002.

Outros Parâmetros de Desempenho

CMRR, PSRR, Slew rate, Noise, Common-Mode Input Range, Output Swing, Power, Silicon Real State,

**Faixa Dinâmica
(Dynamic Range) - DR**

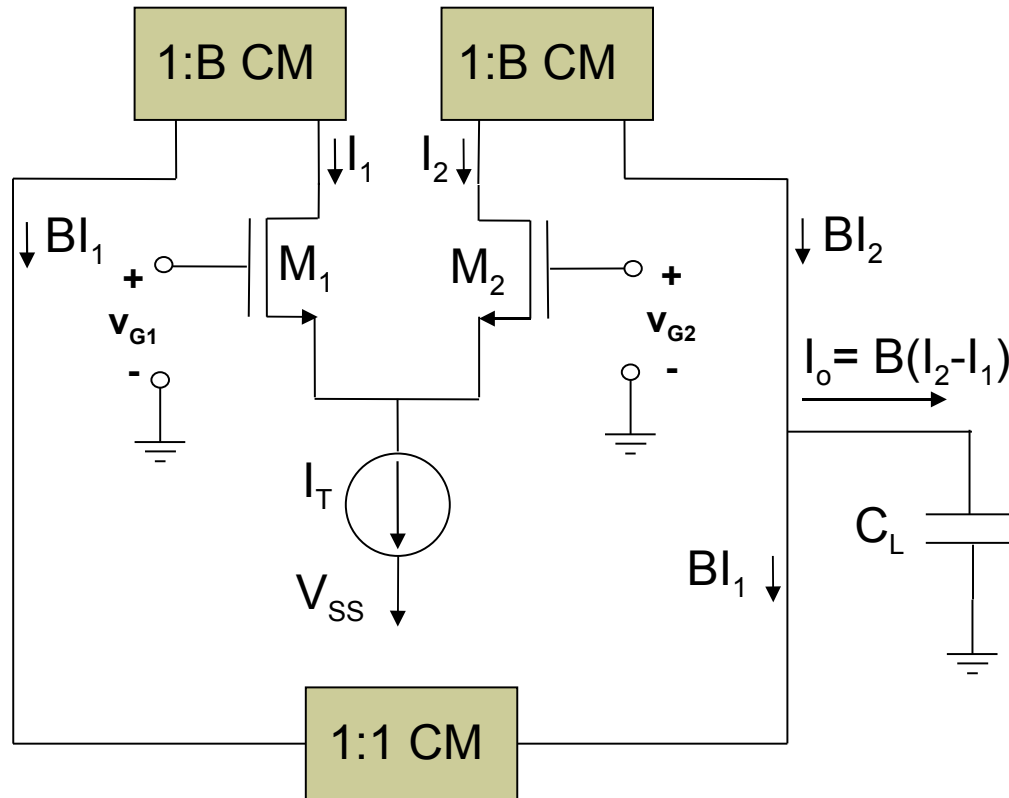
**Distorção (dentro de um nível
aceitável: depende da aplicação).**


$$DR = 20 \log \left(\frac{v_{in,max}}{v_{in,min}} \right)$$

Ruído (distinção entre sinal e ruído)

5.3 OTA (amp op de um estágio)

OTA – Amplificador Operacional de Transcondutância

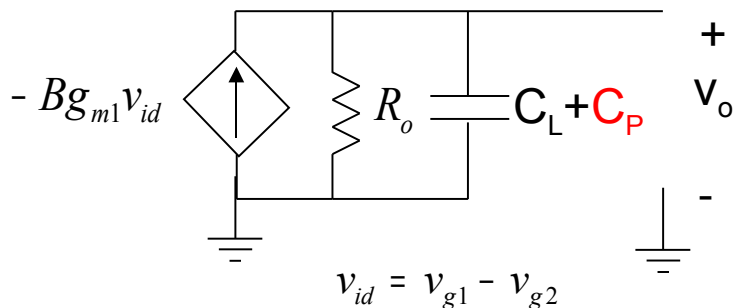
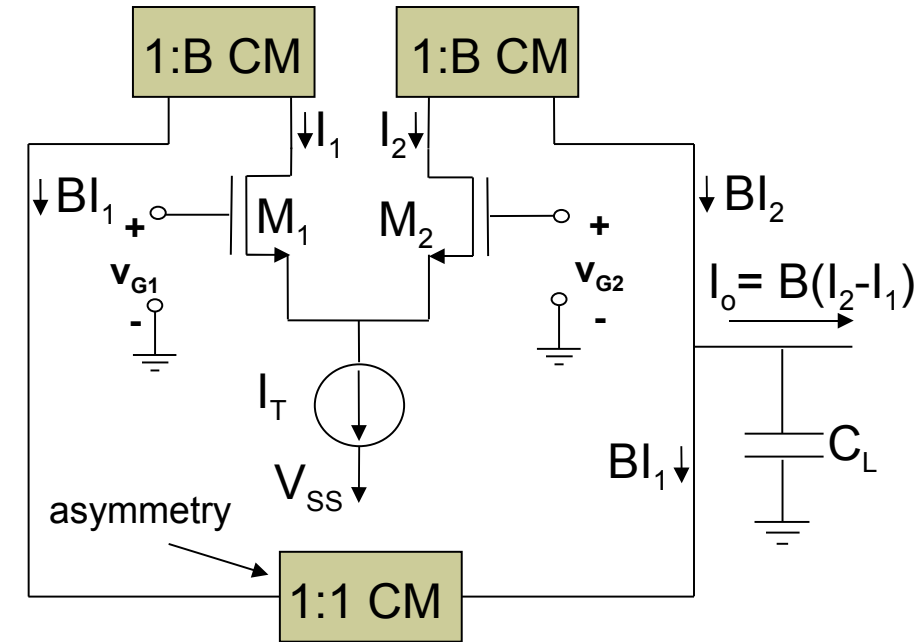


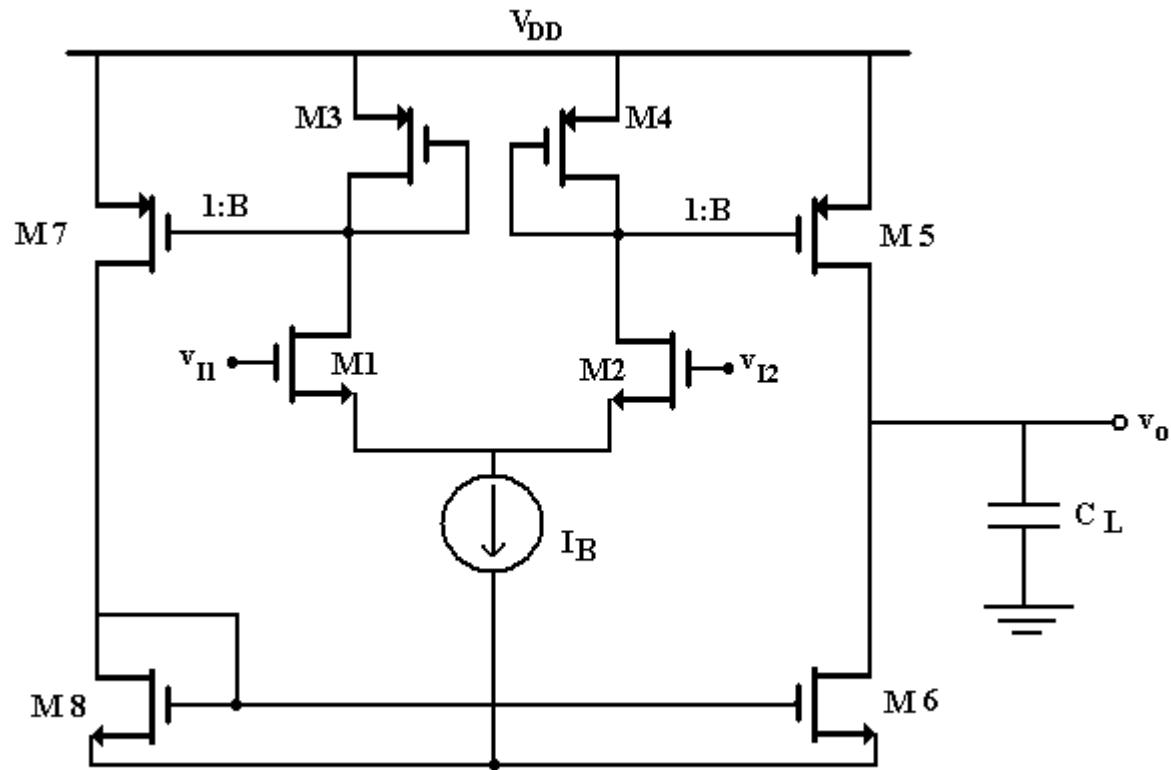
Faixa de modo comum na entrada = amp. dif.

$$SR = \frac{BI_T}{(C_L + C_P)}$$

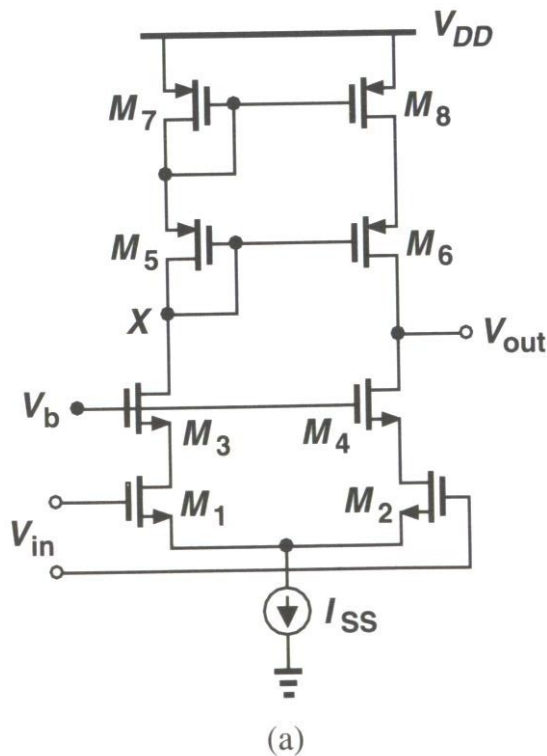
$$A_d(s) = \frac{Bg_{m1}R_o}{1 + sR_o(C_L + C_P)}$$

$$GBW(Hz) = \frac{1}{2\pi} \frac{Bg_{m1}}{(C_L + C_P)}$$

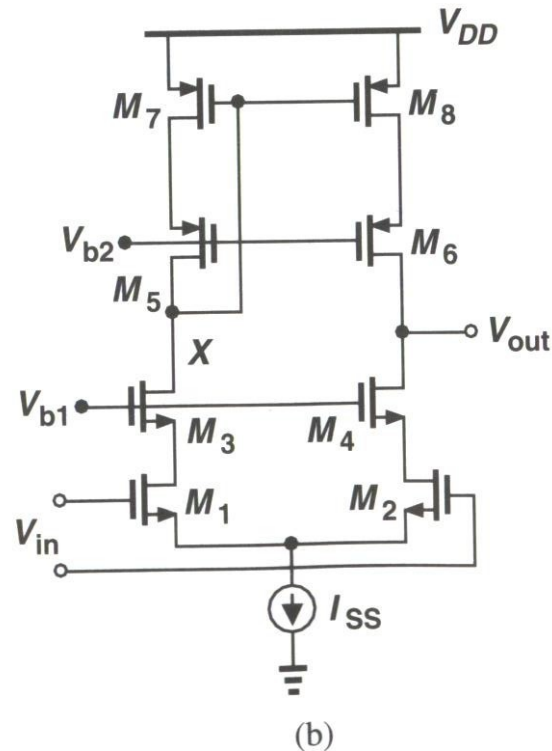




5.4 Amplificadores Cascode & Folded-Cascode



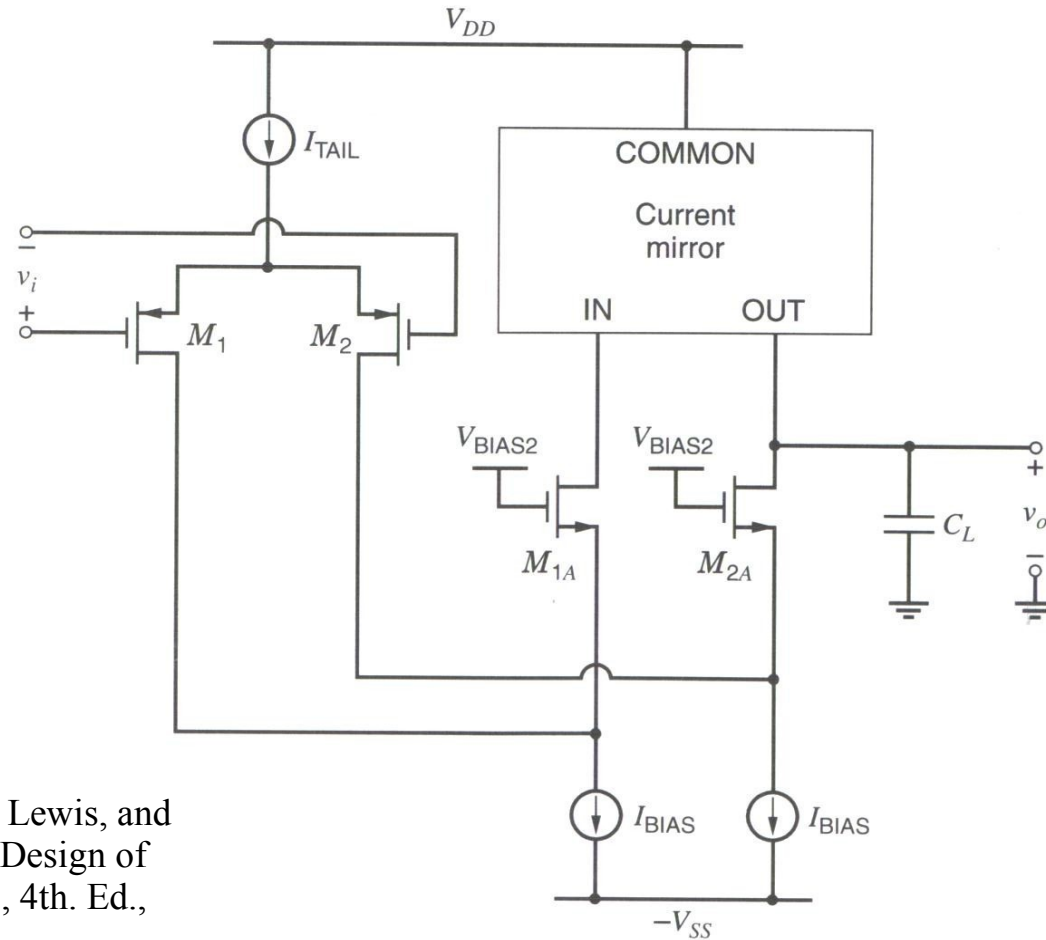
**Amp. Dif. Telescópico
amp. Com espelho
cascode auto-polarizado**



**Amp. diff. Telescópico
com espelho cascode
de baixa tensão**

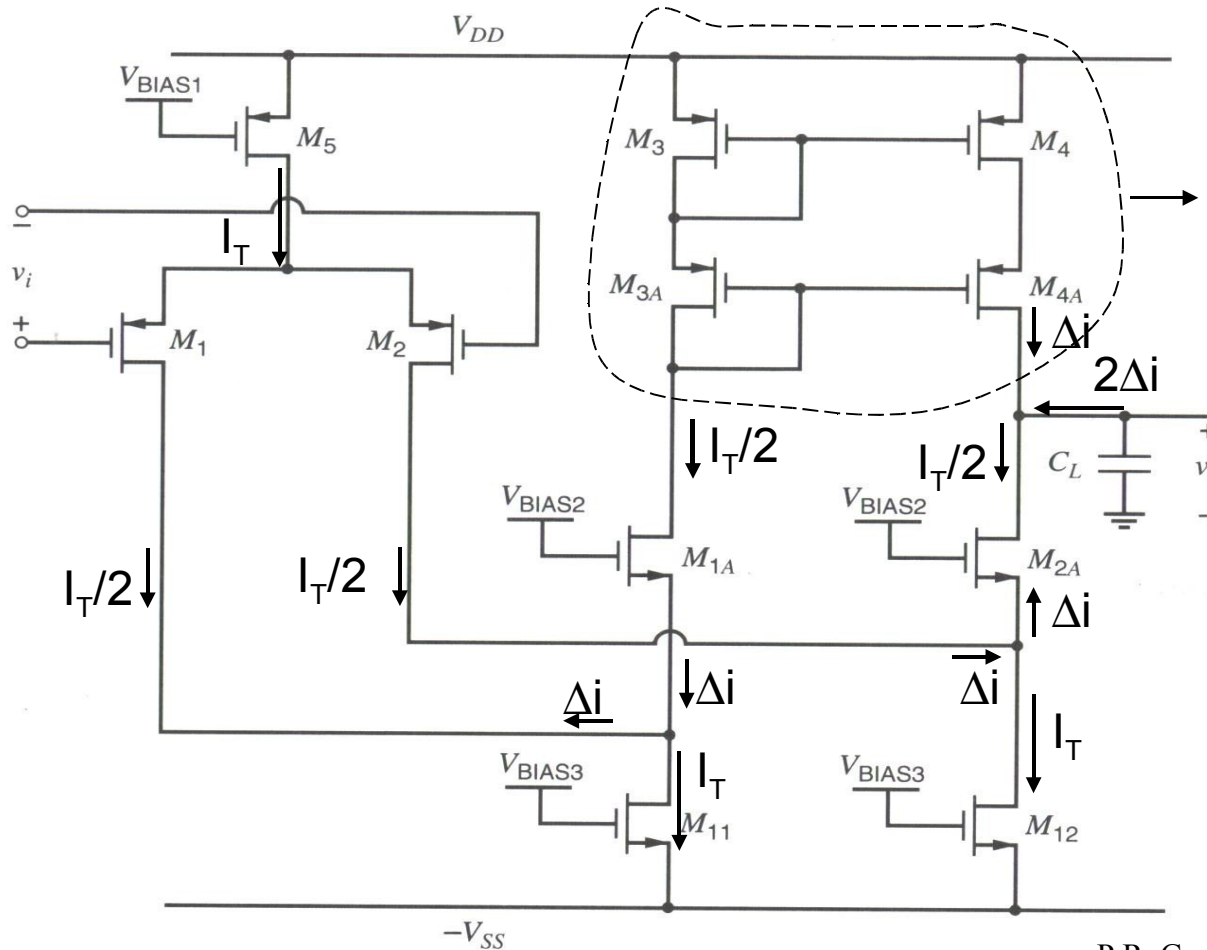
- Reduzida excursão de tensão;
- Doublet !
- Não adequado para aplicações de baixa tensão

Amplificador folded-cascode



P.R. Gray, P.J. Hurst, S.H. Lewis, and R.G. Meyer, Analysis and Design of Analog Integrated Circuits, 4th. Ed., Wiley, 2001.

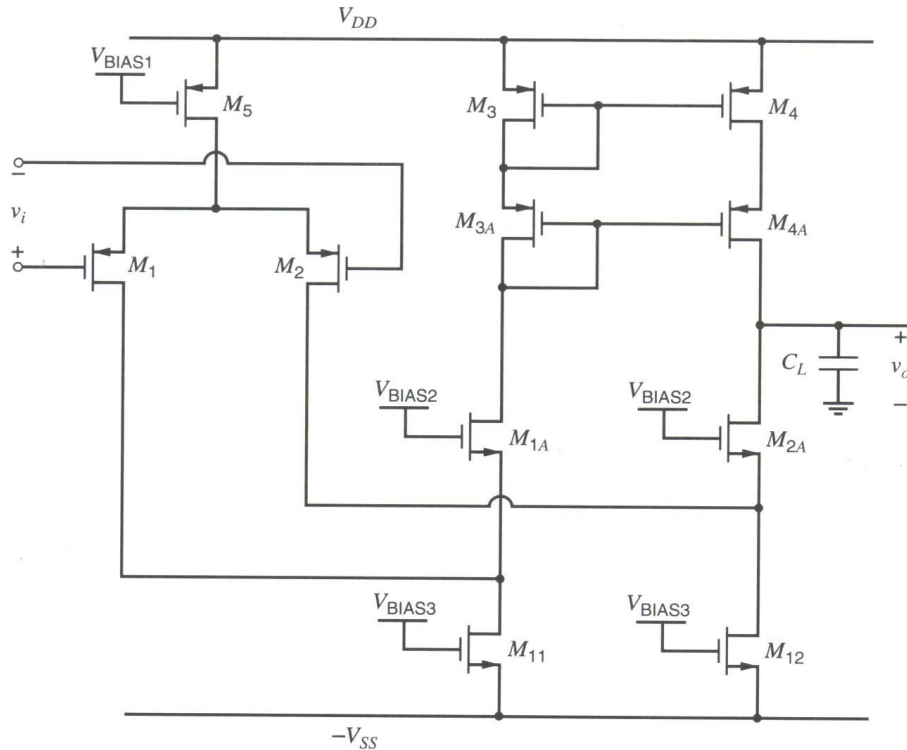
Amplificador folded-cascode



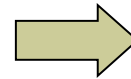
Pode ser alterado para aumentar a excursão de tensão

P.R. Gray, P.J. Hurst, S.H. Lewis, and R.G. Meyer, Analysis and Design of Analog Integrated Circuits, 4th. Ed., Wiley, 2001.

Amplificador folded-cascode



High-swing current mirror



$$SR^{\pm} = \pm \frac{I_T}{C_L}$$

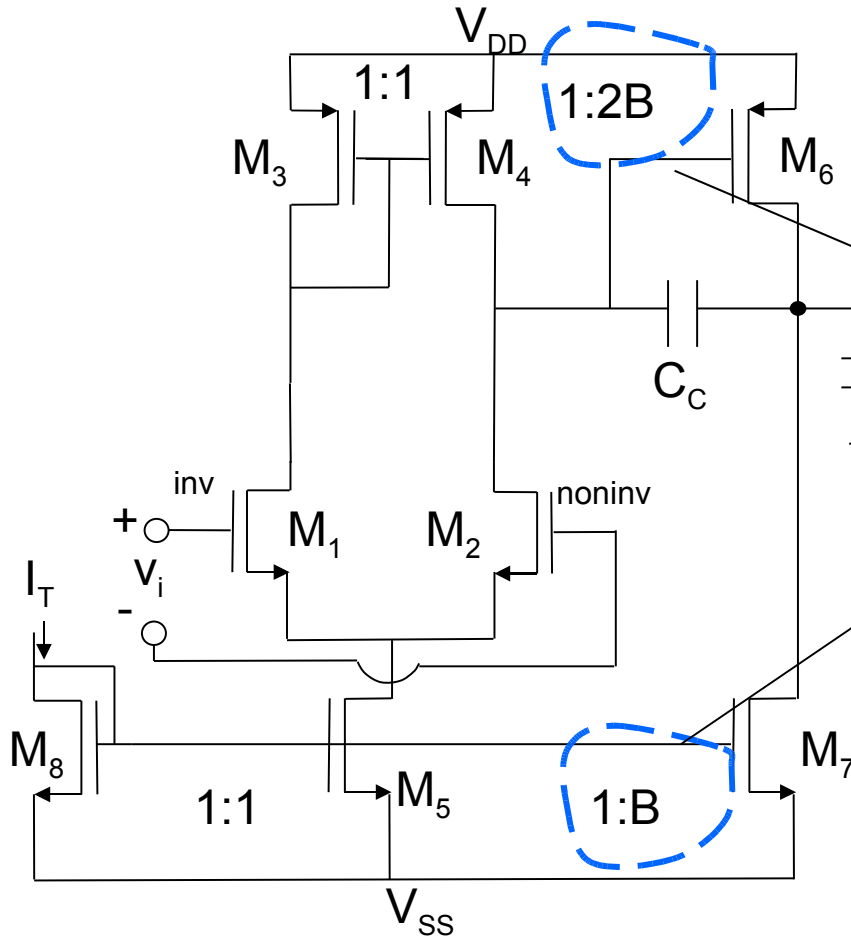
$$A_d \cong \frac{A_{d0}}{1 + sC_L R_o} \quad \& \text{ doublet}$$

$$A_{d0} = G_m R_o \quad G_m = g_{m1}$$

$$G_o = \frac{1}{R_o} = g_{ds4} \frac{g_{ds4A}}{g_{ms4A}} + (g_{ds12} + g_{ds2}) \frac{g_{ds2A}}{g_{ms2A}}$$

P.R. Gray, P.J. Hurst, S.H. Lewis, and R.G. Meyer, Analysis and Design of Analog Integrated Circuits, 4th. Ed., Wiley, 2001.

5.5 Amplificador Operacional de dois estágios



ICMR: ver amp. dif.

Excursão de tensão na saída

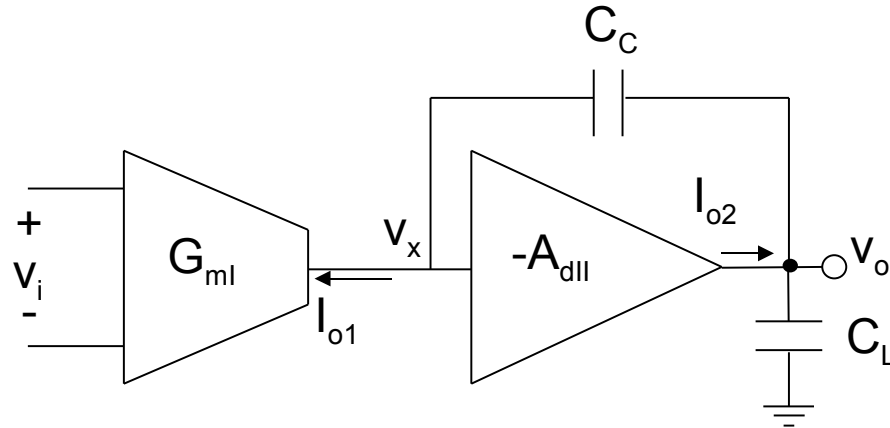
$$V_{DD} - V_{DSsat4} > V_o > V_{SS} + V_{DSsat5}$$

Para offset sistemático → 0.

Ganho de tensão:

$$A_{do} = \left. \frac{v_o}{v_i} \right|_{LF} = - \frac{g_{m1}}{g_{ds2} + g_{ds2}} \frac{g_{m6}}{g_{ds6} + g_{ds7}}$$

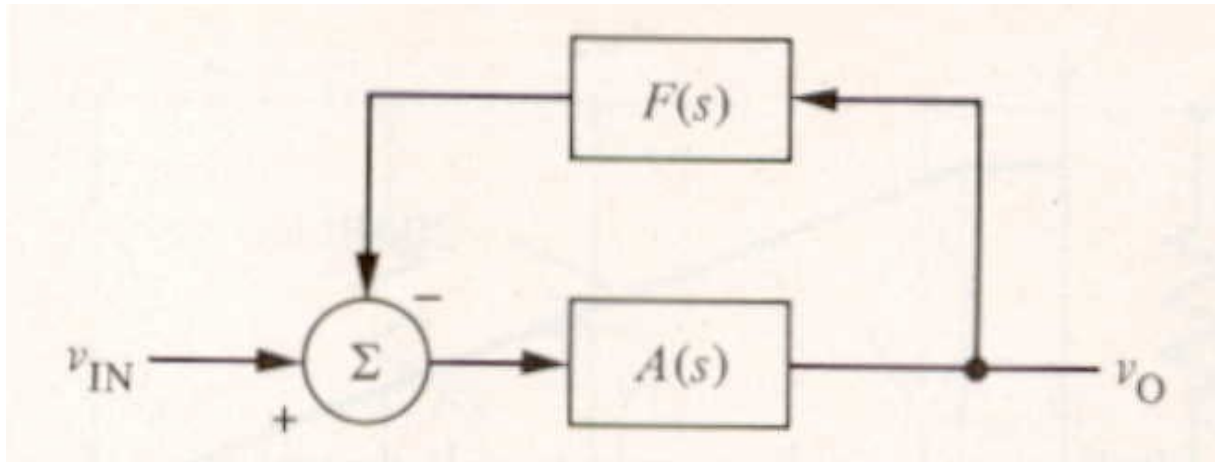
Amplificador Operacional de dois estágios



$$I_{o1} = C_C \frac{d(v_o - v_x)}{dt} \cong C_C \frac{dv_o}{dt} \rightarrow \frac{dv_o}{dt} = \frac{I_T}{C_C} \quad \Rightarrow \quad SR^{\pm} = \pm \frac{I_T}{C_C}$$

$$I_{o2} = I_{o1} + C_L \frac{dv_o}{dt} \rightarrow \frac{dv_o}{dt} = \frac{I_{o2} - I_{o1}}{C_L} \quad \Rightarrow \quad \left. \begin{aligned} SR_{ext}^+ &\cong \frac{I_{6max} - (B+1)I_B}{C_L} > SR^+ \\ SR_{ext}^- &= -\frac{(B-1)I_T}{C_L} \end{aligned} \right\}$$

Amplificador Operacional de dois estágios

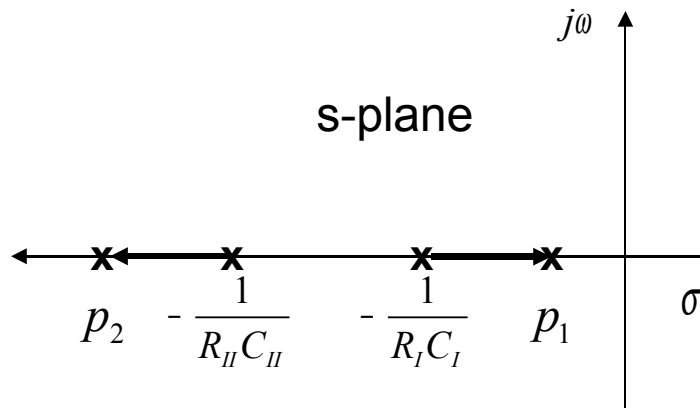


$$\frac{V_o}{V_{in}}(s) = \frac{A(s)}{1 + A(s)F(s)}$$

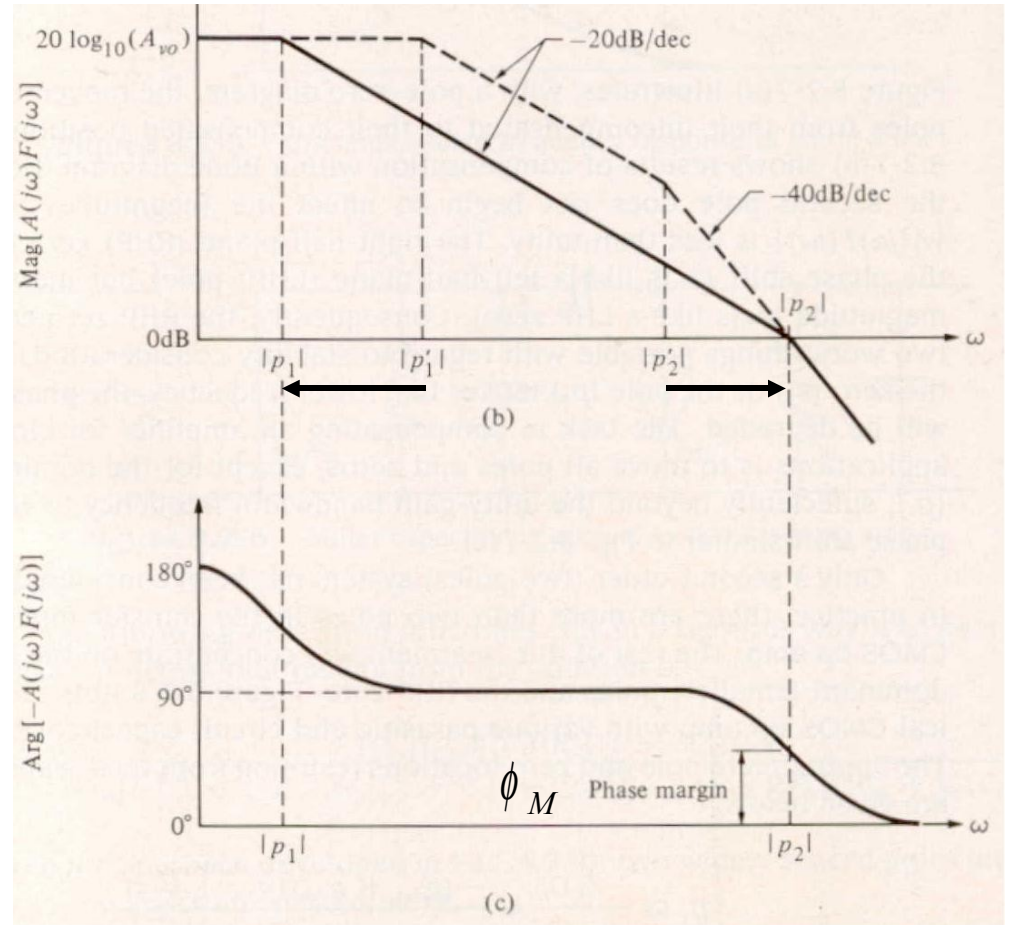
Allen & Holberg, 1st ed.

Amplificador Operacional de dois estágios

Resposta em frequência

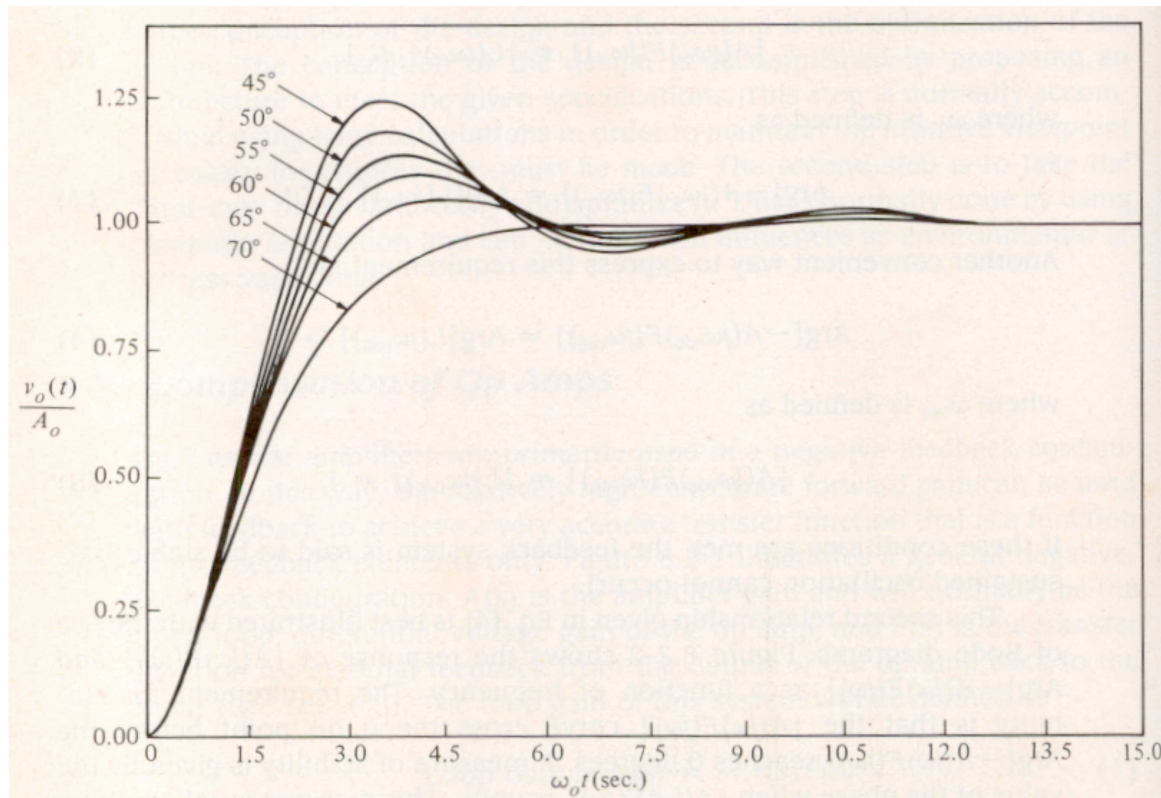


Allen & Holberg, 1st ed.



Amplificador Operacional de dois estágios

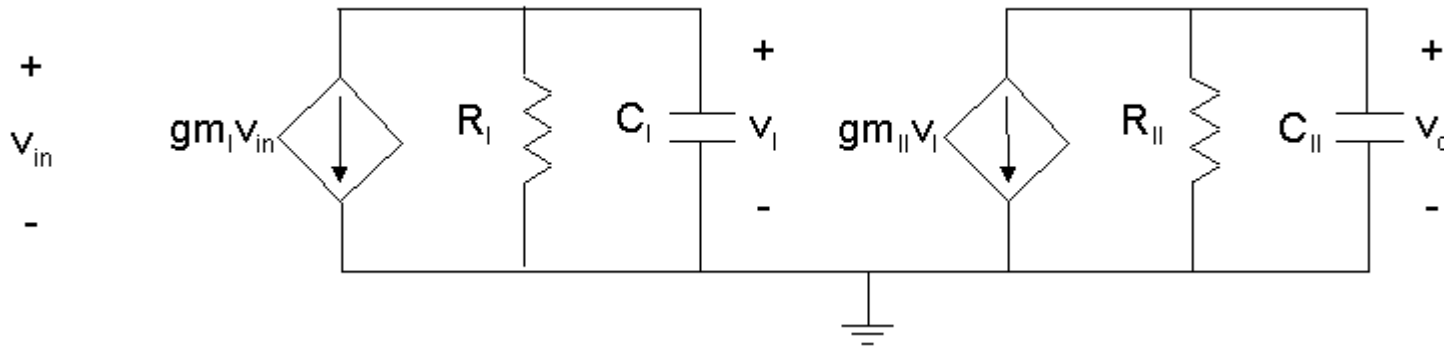
Resposta de um sistema de segunda ordem para vários valores de margem de fase



Allen & Holberg, 1st ed.

Amplificador Operacional de dois estágios não compensado

Circuito Equivalente diferencial



$$g_{mI} = g_{m1}$$

$$R_I = (g_{ds2} + g_{ds4})^{-1}$$

$$C_I = C_{db2} + C_{db4} + C_{gb6} + C_{gs6}$$

$$g_{mII} = g_{m6}$$

$$R_{II} = (g_{ds6} + g_{ds7})^{-1}$$

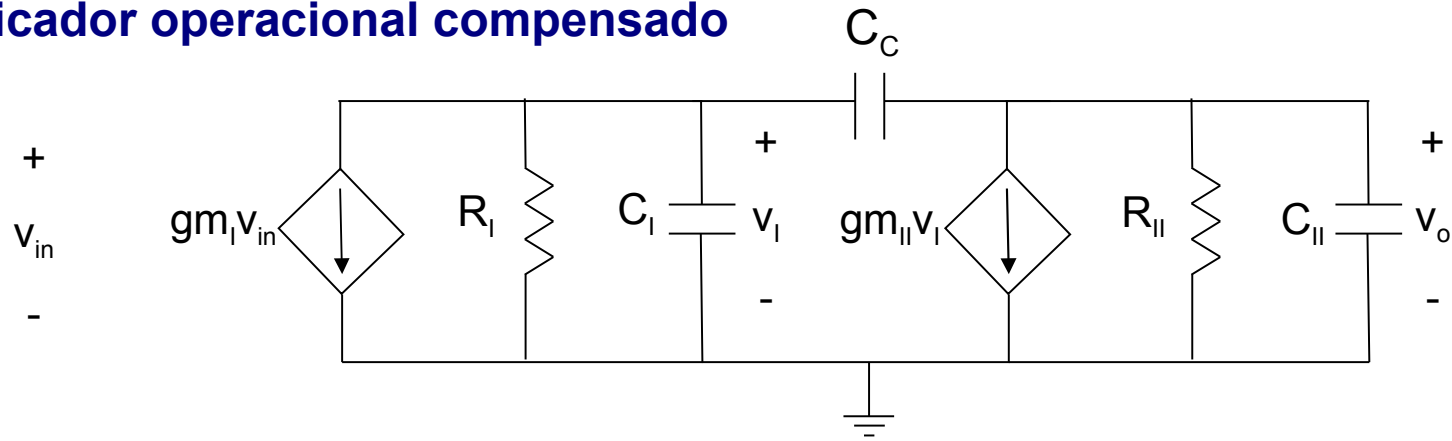
$$C_{II} = C_{db6} + C_{db7} + C_L$$

Se $C_c \rightarrow 0$, então

$$\frac{V_o}{V_{in}}(s) \cong - \frac{g_{mI} g_{mII} R_I R_{II}}{(1 + sR_I C_I)(1 + sR_{II} C_{II})}$$

Pólos relativamente próximos, a margem de fase pode ser baixa ou até negativa!

Amplificador operacional compensado



$$A_d(s) = \frac{V_o}{V_{in}}(s) = - \frac{A_{d0}(1 - s/z)}{(1 - s/p_1)(1 - s/p_2)} \quad A_{d0} = g_{mI} g_{mII} R_I R_{II}$$

$$p_1 \cong - \frac{1}{R_I(C_I + C_C) + R_{II}(C_{II} + C_C) + g_{mII} R_I R_{II} C_c} \cong - \frac{1}{g_{mII} R_I R_{II} C_c}$$

$$p_2 \cong - \frac{g_{mII} C_c}{C_I C_{II} + C_C(C_I + C_{II})} \cong - \frac{g_{mII}}{C_{II}}$$

$$z = \frac{g_{mII}}{C_c}$$

Nota: $2\pi GBW = A_{d0} |p_1| = g_{mI} / C_C$

$$SR = I_T / C_C$$

$$\frac{SR}{2\pi GBW} = (I_T / g_{mI}) = n\phi_t \left(\sqrt{1 + i_f} + 1 \right)$$

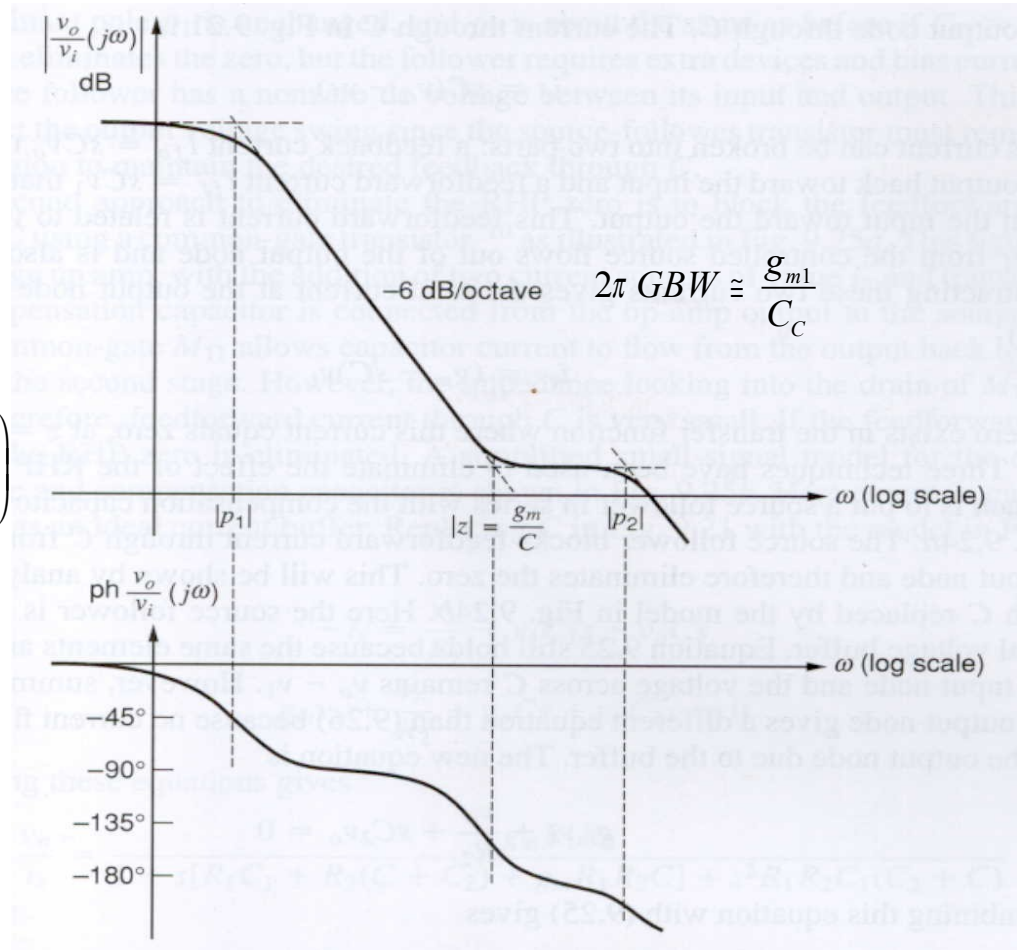
Para evitar baixa margem de fase, escolher

$$|p_2|, z > 2\pi \text{ GBW}$$

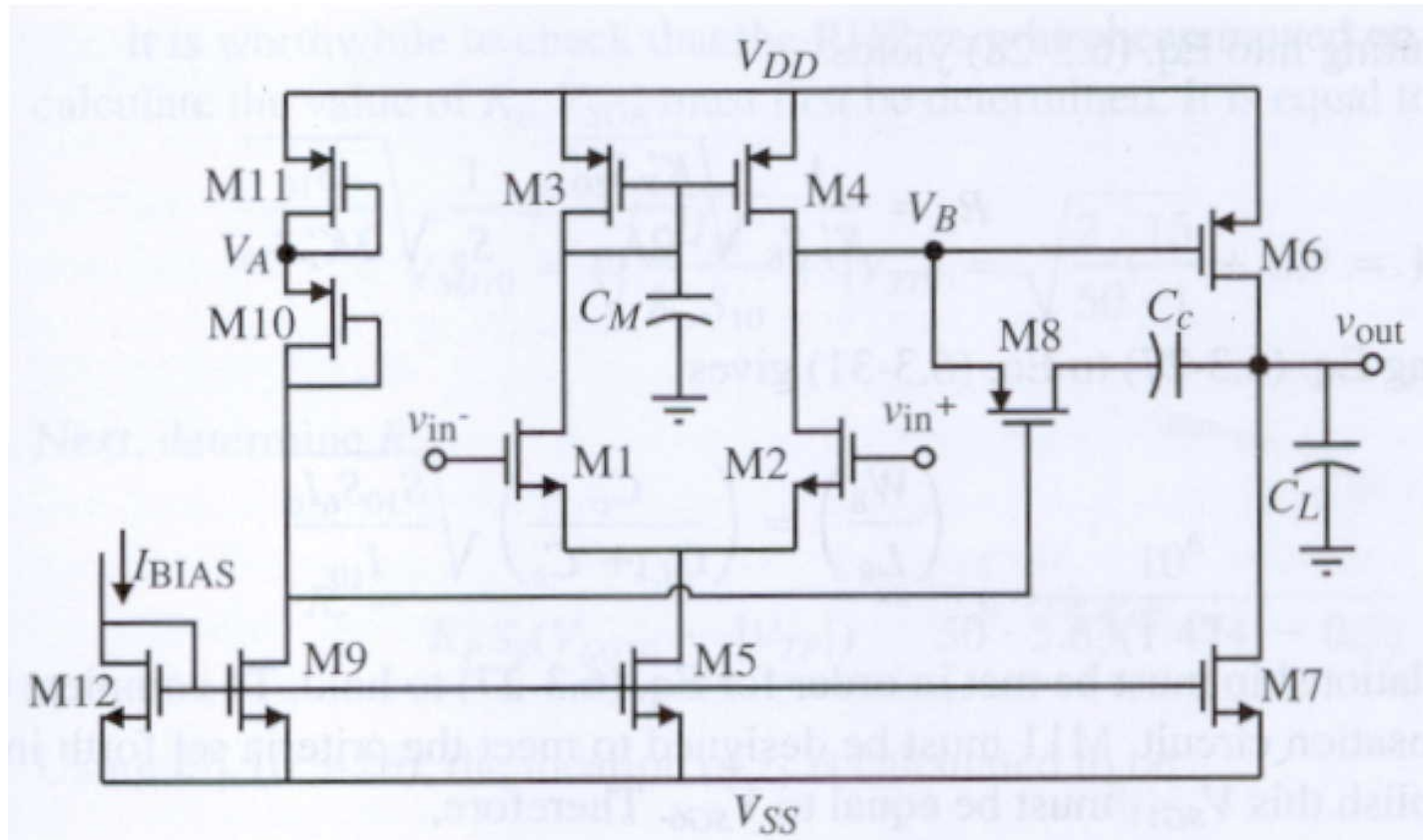
$$\phi_M \cong \frac{\pi}{2} - \tan^{-1} \left(\frac{2\pi \text{ GBW}}{-p_2} \right) - \tan^{-1} \left(\frac{2\pi \text{ GBW}}{z} \right)$$



$$\left(\frac{g_{m1}(C_I C_{II} / C_C + C_I + C_{II})}{g_{m6} C_C} \right) \quad \left(\frac{g_{m1}}{g_{m6}} \right)$$



Amp op CMOS de dois estágios com compensação RC



P. Allen and D. Holberg – CMOS
Analog Circuit Design, 2nd. Ed.,
Oxford, New York, 2002.

Amp op CMOS de dois estágios com compensação RC

$$p_1 \cong - \frac{1}{g_{mII} R_I R_{II} C_c}$$

$$p_2 \cong - \frac{g_{mII} C_c}{C_I C_{II} + C_c (C_I + C_{II})} \cong - \frac{g_{mII}}{C_{II}}$$

$$z = - \frac{1}{C_c (R_z - 1/g_{m6})}$$

$$p_3 = - \frac{1}{R_z C_I}$$



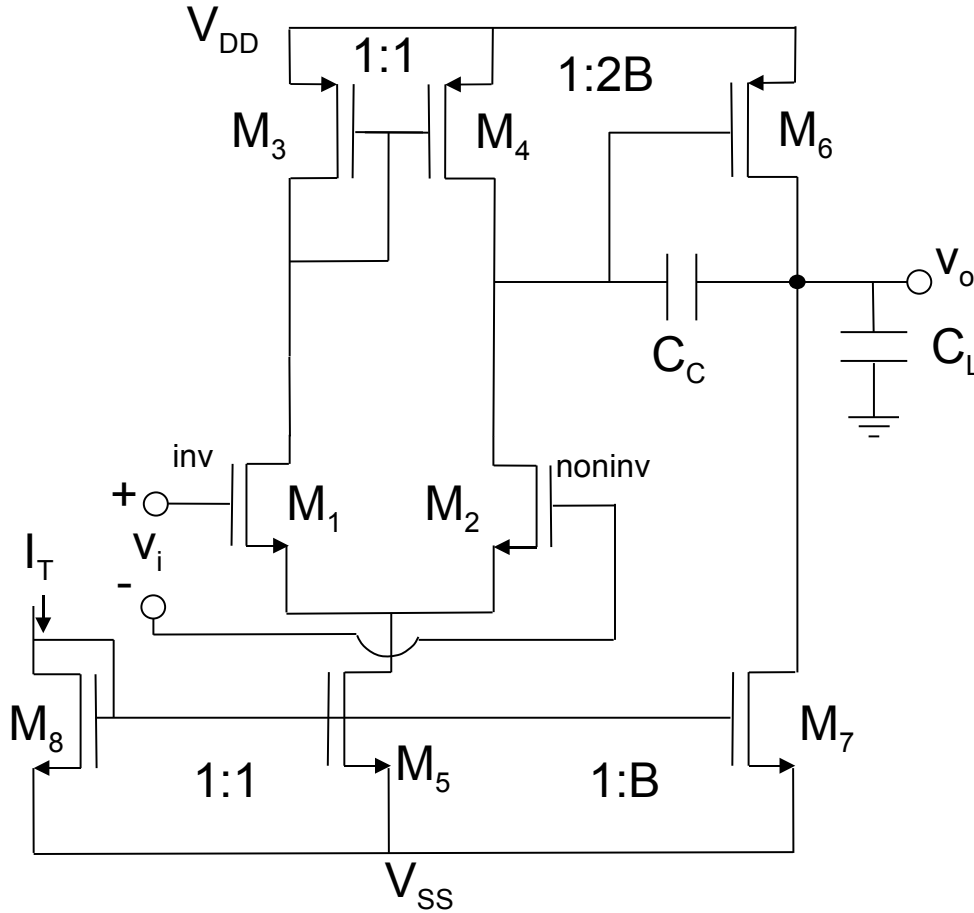
Pólo de alta frequência

Colocando z sobre p_2 :

$$R_z = \frac{1}{g_{m6}} \left(\frac{C_c + C_{II}}{C_c} \right) \cong \frac{1}{g_{m6}} \left(\frac{C_c + C_L}{C_c} \right)$$

P. Allen and D. Holberg – CMOS
Analog Circuit Design, 2nd. Ed.,
Oxford, New York, 2002.

Amplificador de dois estágios: equações de projeto



$$SR = I_T / C_C$$

$$2\pi GBW = A_{d0} |p_1| = g_{mI} / C_C$$

$$p_2 \cong - \frac{g_{mII} C_c}{C_I C_{II} + C_C (C_I + C_{II})} \cong - \frac{g_{mII}}{C_{II}}$$

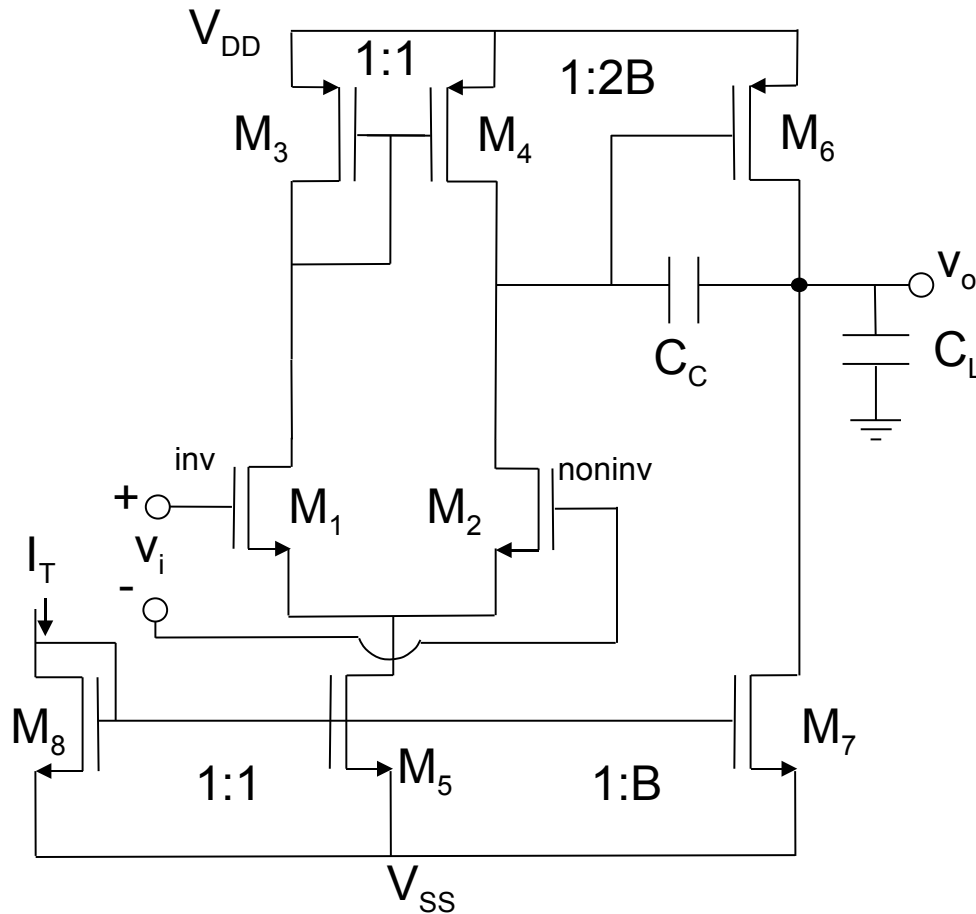
$$z = \frac{g_{mII}}{C_c}$$

$$A_{d0} = A_{d1} A_{d2}$$

$$A_{d1} = \frac{g_{m1}}{g_{ds2} + g_{ds4}}$$

$$A_{d2} = \frac{g_{m6}}{g_{ds6} + g_{ds7}}$$

Amplificador de dois estágios: equações de projeto



$$\left. \begin{aligned} V_{ICM \max} &= \\ V_{ICM \min} &= \end{aligned} \right\} \text{Ver amp. dif.}$$

$$-V_{SS} + V_{DSsat7} < V_o < V_{DD} - |V_{DSsat7}|$$